

図 2: 1次元特徴量ヒストグラム

**Step.3 選択 (Selection)**

集団の中から適合度を基準として、次世代に残す個体を集団数だけ選択する。

**Step.4 交叉 (Crossover)**

集団の中からランダムに選択した2個体を対象とし、それぞれランダムに交叉点を選んだ後、枝を差し替え交配する。

**Step.5 突然変異 (Mutation)**

対象となる個体からランダムに突然変異点を選択し、突然変異点以降の木をランダムに作成した突然変異木と入れ替える。

**Step.6 終了条件 (Terminal Criterion)**

予め決めておいた終了条件に到達するまで Step 2~Step 5 を繰り返す。主な終了条件として探索世代数や目的の個体に達したか否かなどが挙げられる。GPMFC では評価値が0となり、データの属性が完全に分離することを目的として最適化を行う。

**3. 属性の分布を考慮した評価関数の検討**

**3.1 先行研究の評価関数における問題点**

前章の先行研究における GPMFC の評価関数には問題点が存在する。それは、1次元に変換した特徴量平面において、2クラス分布が重なる領域での頻度のみを考慮することである。図.2のような2クラスの重なりを表す領域の中の分布の善し悪しを既存手法では評価することができない、その為、識別を向上させる平面を得ることができるとは限らず、既存手法は最適な評価関数とは言えない。ここで、図.3に2クラス分類精度の低くなる平面と精度の高くなる平面について示す。右側の図のような特徴量分布を持つ平面がより良い評価を受けるように評価関数を考慮する必要がある。

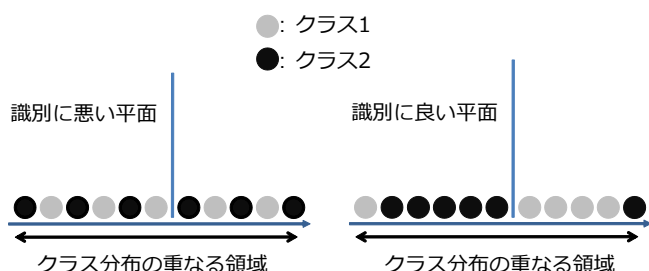


図 3: 1次元2クラス分布の比較

このように2クラス分布の重なる領域において、識別に不利な平面は2クラスデータが交互に配置される場合である。それに対して、識別に有利な平面では2クラスデータは分離中心を境としてある程度局在するように分布することが考えられる。そこで、本稿では理想的な2クラス分布を仮定し、実際に得られる特徴量分布との誤差をペナルティーとして評価する評価関数を提案する。次章でその評価手法について述べる。

**3.2 提案手法**

GPMFC の特徴量変換における評価方法として、事前に理想的な2クラス分布に対する知識を与えるような方法を提案する。この手法ではまず、理想的な1次元データに変換される特徴量の分布をその値の大きさの順位の大小によって決定する。次に、1次元特徴量変換データをソートして、変換データと理想的なデータの属性を比較する。属性に誤りが生じた場合はそのデータの位置を考慮したペナルティー(重み)を付加する。重みは2つの属性の分離中心から離れるほど重く設定することにより、2つの理想的な属性の分離状態により近くなることが可能となる。図.4に評価関数の概要図を示す。この図では、両属性に2次の重み関数を設定した場合について示している。次章の評価実験においても同様に、2次の重み関数を用いている。

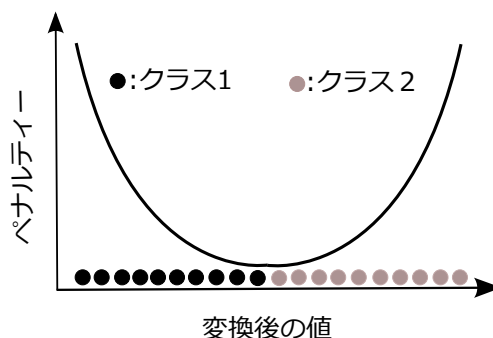


図 4: 重み関数概要図

**4. 評価実験**

提案手法と先行研究の手法を比較する評価実験を行い、提案手法の評価関数の有効性を評価する。また、変換前のデータよりも識別結果が向上するかも併せて評価を行う。

**4.1 実験方法**

実験では学習データとして Breast Cancer Wisconsin の乳癌データ [Merz C.J. 98](データ数 420)を用いる。また、識別の検証には 5fold-crossvalidation を使い、学習データを 336 サンプルと未学習データを 84 サンプルとする。変換したデータを SVM を用いて識別し、識別結果を上記の2つの手法について比較する。また、得られた特徴量平面がどのような分布を持つかも併せて比較する。

**4.2 実験パラメーター**

表 1 に今回の実験で用いる GP のパラメータを示す。このパラメータは提案手法と先行研究の手法において共通である。

表 1: GP のパラメータ

| パラメータ    | 値          |
|----------|------------|
| 個体数      | 1000       |
| 世代数      | 100        |
| 交叉率      | 0.6        |
| 突然変異率    | 0.3        |
| 特徴量数     | 3          |
| 関数ノードの種類 | +, -, ×, ÷ |
| 交叉方法     | 一点交叉       |
| 選択方法     | トーナメント選択   |

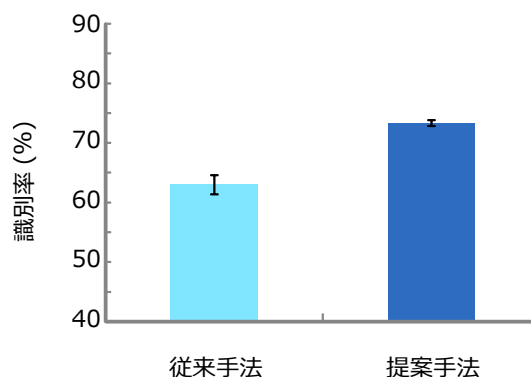


図 7: 識別率の比較 (10 試行平均)

### 4.3 実験結果

図 7 に提案手法と先行研究の手法において、識別率の比較を行った結果を示す。なお、この実験では提案手法と既存手法の比較をしやすいように識別率の低いデータを用いた。その為、前述の Breast Cancer Wisconsin の乳癌データから特に識別率の低い特徴量を 3 種類抽出した。このデータの SVM による識別率は RBF カーネルを用い 70.95% である。まず、実際にデータを変換した際の一次元の特徴量分布を、図 5 に既存手法、図 6 に提案手法について示す。既存手法においてはデータの分布が重なる領域において、2 つのクラス分布が入り交じっているが、提案手法においては、2 クラスの領域がある程度分かれた分布を得た。

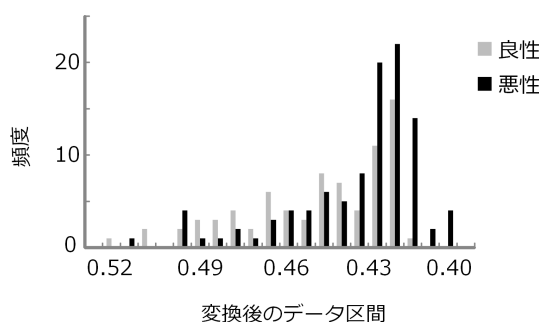


図 5: 特徴量ヒストグラム (既存手法)

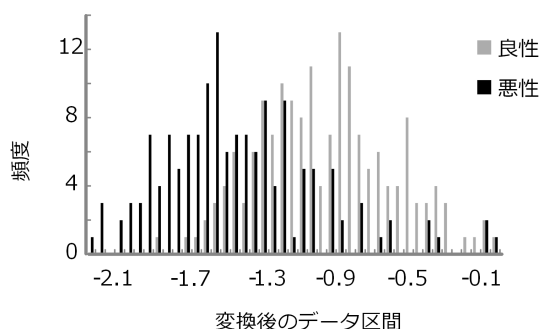


図 6: 特徴量ヒストグラム (提案手法)

次に、識別率について示す。識別率は GPMFC10 試行の平均値を算出して示した。提案手法による平均の識別率は 73.34% となり、従来手法の平均識別率 65.58% を上回り、かつ変換前よりも 2.39% 識別率が向上した。この結果により提案手法の有効性が示唆された。

## 5. まとめ

今回の実験から、GPMFC の評価関数には単純な分布を考慮する手法よりも、事前知識を含む評価関数が適していることが示された。しかし、学習サンプル数が同数必要であるなどの課題を解決する必要がある。また、多クラス分類問題について、GPMFC を用いた特徴量変換手法を検討する必要がある。一方で、この手法がどの種類の識別器と相性が良いのかということも検討項目として挙げられる。今回は 2 クラス分類において精度の高い SVM を選んだが、今後は NN や決定木において、この手法を適応し、精度の比較検討を行っていく。

## 参考文献

- [G.E.Hinton 06] G.E.Hinton and R.R. Salakhutdinov. Reducing the Dimensionality of Data with Neural Networks. Science, Vol. 313, No. 5786, pp. 504-507, 2006.
- [V. N. Vapnik 98] V. N. Vapnik. Statistical Learning Theory. Wiley, 1998.
- [F. Otero 03] F. Otero, M. Silva, A. Freitas, and J. Nievola, Genetic programming for attribute construction in data mining, in Genetic Programming (Lecture Notes in Computer Science, vol. 2610.) Berlin, Germany: Springer, 2003, pp. 101-121.
- [F. Friedrichs 05] Frauke Friedrichs and Christian, Evolutionary tuning of multiple SVM parameters, Trends in Neurocomputing: 12th European Symposium on Artificial Neural Networks 2004, Volume 64, March 2005, Pages 107-117.
- [Zhang 12] K.Neshatian, Mengjie Zhang, and P.Andreae, A filter approach to multiple feature construction for symbolic learning classifiers using genetic programming: Evolutionary Computation, IEEE Transactions on, Vol. 16, No. 5, pp.645-661, oct. 2012.
- [Merz C.J. 98] Merz C.J. Blake and C.L. , Uci repository of machine learning databases, 1998.
- [Koza 92] J.Koza: Genetic programming, on the programming of computers by means of natural selection, MIT Press, 1992